

تعیین نیروی دینامیکی وارد از طرف خاک اشباع به دیوار نگهبان در حین وقوع زلزله

اسدآ... نورزاد

استادیار گروه مهندسی عمران - دانشکده فنی - دانشگاه تهران

مهدى دهقانيان

کارشناس ارشد رشته خاک و پی دانشکده فنی - دانشگاه تهران

(تاریخ دریافت ۱۵/۹/۷۶، تاریخ تصویب ۲۹/۱/۷۷)

چکیده

هدف از ارائه این مقاله بدست آوردن تنفس و نیروی دینامیکی وارد از طرف یک لایه خاک اشباع، نیمه بینهایت همگن با ضخامت ثابت، که توسط بستر خود تحریک می‌شود، به دیوار نگهبان صلب قائم می‌باشد. روش حل مبتنی بر دو فازه بودن محیط پشت دیوار می‌باشد. عبارت دیگر خاک را محیطی متخلخل در حالت الاستیک در نظر گرفته که شامل دو فاز جامد و مایع می‌باشد. فرمول بندی مسئله بر اساس روش Biot می‌باشد [۲]. محاسبات براساس پارامترها و مشخصات دینامیکی خاک انجام گرفته است و نتایج بدست آمده عبارتند از تنفس کل و فشار منفذی آب در هر نقطه از محیط و نیروی برایند حاصله از تنشهای افقی وارد بر دیوار و لنگر وارد بر پای دیوار.

کلید واژه‌ها: خاک اشباع، فشار دینامیکی، محیط متخلخل، زلزله

مقدمه

انهدام شود، تحلیل در این حالت بروش تعادل حدی و تحلیل حدی انجام می‌پذیرد.

۲ - آنهائی که حرکت زمین پشت دیوار را بقدرتی کم در نظر می‌گیرند که محیط پشت دیوار را می‌توان بیان کننده رفتار ارتجاعی خطی دانست.

۳ - حالت بینابینی که خواص خاک بصورت غیرخطی در نظر گرفته شود.

اولین روش توسط Mononobe-Okabe [۴] برای اولین بار پیشنهاد شد. با اعمال شتاب زلزله بر یک گوه خاک محدود شده به دیوار و صفحه شکست فرضی پیشنهاد شده، و بر اساس روش تعادل حدی میزان فشار دینامیکی خاک محاسبه می‌گردد.

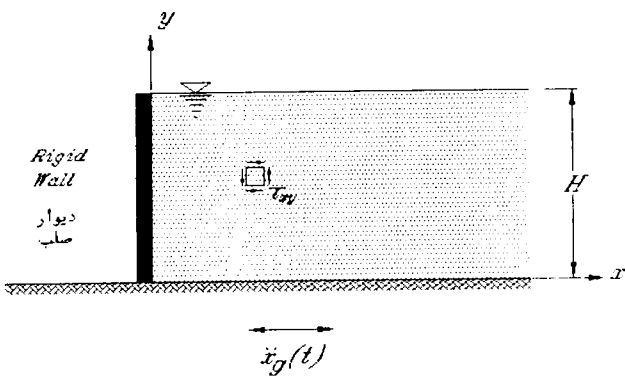
ارائه سومین روش، اخیراً توسط Siller [۷] انجام شده است که با دیوارهای وزنی و مقید شده سر و کار دارد. تحقیق حاضر نگاهی بر روش دوم دارد. در اینجا فشارها و برایند نیروهای وارد بر دیوار از طرف خاک اشباع تحریک

تعیین فشار دینامیکی خاک اشباع تحریک شده توسط لرزش زمین، روی دیوار نگهبان قائم صلب، اساس کار است. برای این منظور محیط خاک را محیطی دو فازه در نظر گرفته که یک فاز آن جامد و فاز دیگر مایع می‌باشد. هر کدام از این فازها بطور جداگانه در روابط تعادلی تأثیر می‌گذارند، بدین جهت رفتار واقعی محیط در این روش بررسی خواهد شد. این روش را برای اولین بار Biot [۲] ارائه داد و آن را گسترش داد، مثالهای در تحقیم خاک توسط این روش ارائه داد که جالب توجه بودند. حال هدف بکار بردن این روش در بررسی فشار دینامیکی خاک بر دیوارهای نگهبان می‌باشد.

روشهایی که برای آنالیز این مسئله تاکنون ابداع شده است را کلاً می‌توان به سه دسته تقسیم کرد. این روشهای در ذیل ذکر شده‌اند:

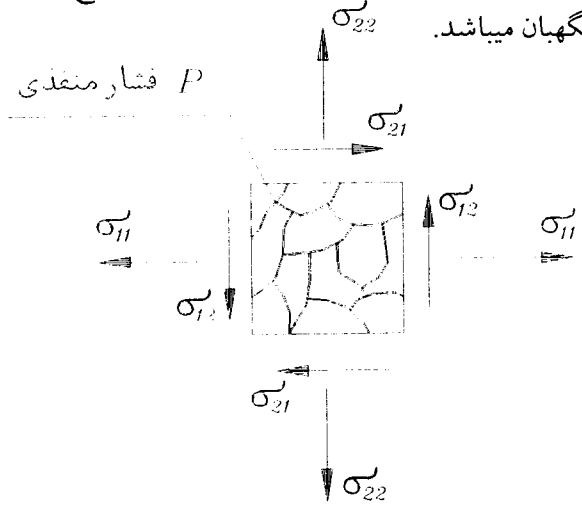
۱ - آنهائی که حرکت نسبی دیوار و محیط پشت آنرا بقدر کافی بزرگ در نظر می‌گیرند تا اینکه خاک پشت دیوار دچار

طرف آنرا خاک اشباع با سطحی افقی به ارتفاع H فراگرفته است. بدلیل فرض همگن بودن خاک و طول زیاد دیوار مسئله از شرایط سه بعدی خارج شده و به یک مسئله دو بعدی تقلیل می‌یابد محورهای مختصات عمود برهم x و عراقبه صورتی در نظر گرفته که محور x مماس بر بستر و محور z مماس بر سطح مشترک خاک و دیوار می‌باشدند.



شکل ۱: بستر تحت اثر تحریک زلزله.

فرض بر آن است که بستر با شتاب (t) حرکتی ارتعاشی دارد. هدف یافتن فشار وارده از طرف خاک اشباع بر دیوار نگهبان می‌باشد.



شکل ۲: المانی از محیط متخلخل.

اگر المانی از خاک در نظر گرفته شود که در شکل شماره ۲ نمایش داده شده است. این المان شامل دوفاز جامد و مایع می‌باشد که رفتار کلی این المان را می‌توان با پارامترهای زیر بررسی کرد:

شده توسط تکانهای زمین با فرض رفتار ارتجاعی بررسی می‌شوند. تغییر مکانها کوچک فرض شده و روابط حالت ارتجاعی را صادق می‌دانیم. طبیعتاً دامنه کاربرد این روش تا جائی است که تغییر مکان درون خاک بقدرتی بزرگ نشوند که از حالت خطی خارج شده و بدنبال آن نیز خواص خاک تغییر کند.

علاوه بر فرض قبلی برای تغییر مکانها فرض را برابر این قرار می‌دهیم که محیط خاک همگن بوده و دارای خصوصیات ثابت در طول مدت زمان لرزه زمین می‌باشد. همچنین دیوار نگهبان را صلب در نظر گرفته که نسبت به بستر هیچگونه تغییر مکانی نخواهد داشت.

در یک سری مقالات مختلف، Wood [۶, ۵] حلی تحلیلی بر اساس خواص مکانیکی خاک، برای واکنش یک لایه به طول محدود تحریک شده توسط بستر، ارائه داد، که خاک در مسئله او دارای دو مرز قائم بود. Veletsos [۱] همان مسئله Wood را دنبال کرد با این تفاوت که خاک پشت دیوار را بصورت نیمه بینهایت فرض کرد و خاک را دارای یک مرز قائم که دیوار صلب بود در نظر گرفت. او به جبران کمبود معادلات فرض را بر ناجیز بودن تنشهای قائم در خاک قرار داد، در نهایت جوابهایی که بدست آورد در مقایسه با جوابهای Wood کمی بیشتر بود او نشان داد که اگر فرض را بر این قرار دهد که تغییر مکانهای قائم خاک ناجیز است جوابهای نهائی او اختلاف فاحشی با جوابهای Wood پیدا خواهد کرد.

اما همانطور که ذکر شد Veletsos محیط را یک فازه در نظر گرفت که نتایج برای خاک خشک قابل استفاده است. در این مقاله دو فاز جامد و مایع را جدا از یکدیگر در نظر گرفته و پارامترهای مربوط به وجود آب نیز به پارامترهایی که Veletsos بکار گرفت اضافه شده و تأثیر هر کدام در مقدار فشار منفذی مشخص شده و نشان داده می‌شود که در خاکهای اشباع نیروها به چه میزان در مقایسه با خاکهای خشک تغییر می‌نماید.

طرح صورت مسئله و بدست آوردن معادلات حاکم بر آن

همانطور که در شکل ۱ مشاهده می‌شود دیوار صلب قائمی به ارتفاع H بر روی بستر صلب قرار دارد و یک

میرائی پسماند Hysteresis می باشد.

n - ضریب تخلخل ((حجم المان)/(حجم بخش مایع))

$$G^* = G(1+i_5) \quad (i= \sqrt{-1}) \quad (6)$$

$$\lambda^* = \frac{2n}{1-2n} G^* \quad (7)$$

در معادلات فوق برای σ_{ij} و σ'_{ij} جهت مثبت کششی و برای P جهت مثبت فشار فرض شده اند. (در موقعي که $j=i$ باشد، $\sigma_{ij} = \sigma_{ii}$ در غیر این صورت $\sigma_{ij} = \sigma_{ji}$ می باشد.)

۱- تنش کلی وارد بر المان

σ_{ij} - تنش مؤثر وارد بر المان

P - فشار منفذی

۲- تغییر مکان متوسط بخش جامد المان (این تغییر مکان نسبت به بستر سنجیده می شود)

w_i - تغییر مکان متوسط بخش مایع المان (این تغییر مکان نسبت به بخش جامد المان سنجیده می شود)

m - جرم حجمی المان (بخش مایع و جامد)

ρ_f - جرم حجمی مایع درون المان

K_i - نفوذ پذیری خاک در جهت i

K_f - مدول حجمی سیال درون المان

G - مدول برشی خاک

g - ضریب میرائی خاک

v - ضریب پواسون خاک

i_{ij} - کرنش در جهت ij

البته در مورد w_i باید نسبت حجم بخش مایع تغییر مکان یافته به حجم کلی در نظر گرفته شود، پس میتوان مقدار حقیقی این پارامتر را $\frac{w_i}{n}$ فرض نمود.

روابط تنش، کرنش

روابط بین تنش و تغییر مکانها بر اساس فرض ارجاعی بودن محیط بصورت زیر حاصل می شوند:

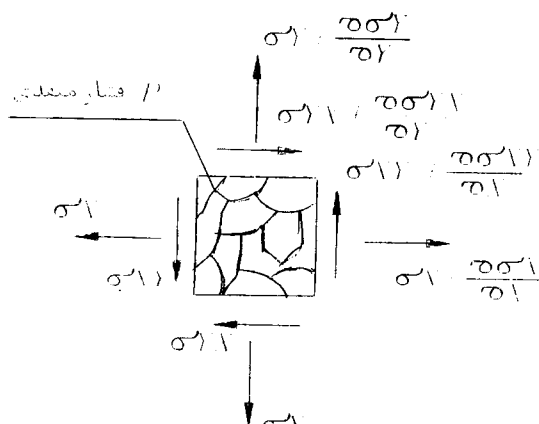
$$\sigma_{ij} = \sigma'_{ij} - \delta_{ij} P \quad (1)$$

$$\epsilon_{ij} = \frac{1}{2} (u_{i,j} + u_{j,i}) \quad (2)$$

$$\sigma'_x = (\lambda^* + 2G^*) \frac{\partial u_x}{\partial x} + \lambda^* \frac{\partial u_y}{\partial y} \quad (3)$$

$$\sigma'_y = (\lambda^* + 2G^*) \frac{\partial u_y}{\partial y} + \lambda^* \frac{\partial u_x}{\partial x} \quad (4)$$

$$\tau_{xy} = G^* \left(\frac{\partial u_x}{\partial y} + \frac{\partial u_y}{\partial x} \right) \quad (5)$$



شکل ۳: المان دو بعدی.

$\sigma_{ii} dA$ = نیروی لازم جهت حرکت کل المان با شتاب w_i
 $\rho f n.dA \cdot (\frac{w_i}{n}) = \rho_f n.dA$ = شتاب آن × جرم بخش مایع
 نیروی لازم جهت حرکت نسبی بخش مایع با شتاب w_i
 نسبت به بخش جامد

که در معادلات فوق $\rho f G^*$ بصورت اعداد مختلط تعریف می شوند، یعنی ذرات جامد محیط با رفتار ارجاعی دارای

المان را با بسط تیلور بدست آورد بعنوان مثال سرعت جریان سیال از لبه سمت راست عمود بر محور x ها بصورت زیر بدست می‌آید:

$$\dot{w}_x(x + \frac{\Delta x}{2}, y, z) = \dot{w}_x(x, y, z)$$

$$+ (\frac{\Delta x}{2}) (\frac{\partial \dot{w}_x}{\partial x}) + (\frac{\Delta x}{2})^2 (\frac{\partial^2 \dot{w}_x}{\partial x^2}) + \dots$$

بافرض کوچک بودن Δx می‌توان از توانهای بزرگتر از یک آن صرفنظر کرد. طبق قانون بقاء جرم داریم: افزایش جرم المان + جرم سیال خروجی - جرم سیال ورودی = جرم سیال خروجی - جرم سیال ورودی

$$= -\rho_f \left(\frac{\partial \dot{w}_x}{\partial x} + \frac{\partial \dot{w}_y}{\partial y} + \frac{\partial \dot{w}_z}{\partial z} \right) \Delta V$$

رابطه فوق با فرض ثابت بودن n می‌باشد. جرم سیال داخل المان از رابطه $\Delta M = n \rho_f \Delta V = n \rho_f \Delta t$ بدست می‌آید. که تغییرات آن بر حسب زمان بصورت زیر می‌باشد:

$$\frac{\partial \Delta M}{\partial t} = \left(\frac{\partial n}{\partial t} \right) \rho_f \Delta V + n \rho_f \left(\frac{\partial \Delta V}{\partial t} \right) + n \left(\frac{\partial \rho_f}{\partial t} \right) \Delta V$$

سمت راست رابطه فوق شامل سه ترم می‌باشد که هر کدام از روش خاصی محاسبه شده‌اند.

$$\rho_f \left(\frac{\partial n}{\partial t} \right) \Delta V = -\rho_f \Delta V \left[\frac{\dot{n}_{ii}}{2K_s} - \rho \left(\frac{1-n}{K_s} \right) \right] + \rho_f (1-n) \left(\frac{\partial \Delta V}{\partial t} \right)$$

$$n \rho_f \left(\frac{\partial \Delta V}{\partial t} \right) = n \rho_f \dot{V}_{ii}$$

$$n \left(\frac{\partial \rho_f}{\partial t} \right) \Delta V = n \rho_f \dot{P} \Delta V / K_f$$

که در روابط فوق مقادیر n و K_f همان مقادیر اولیه n_0 و K_{f0} می‌باشند و K_f مدول حجمی سیال درون المان و $2K_s$ مدول حجمی قسمت جامد المان می‌باشند. بدلیل بزرگ بودن K_s از جملاتی که شامل K_s در مخرج می‌باشند صرفنظر کرده و معادله بقاء جرم بصورت زیر بدست می‌آید:

$$\dot{w}_{i,j} + i_{ii} + n P / K_s = 0 \quad (10)$$

می‌رسیم:

$$\sigma_{ij,j} + \rho g_i = \rho \ddot{u}_i + \rho \ddot{w}_i + \rho \ddot{x}_g(t)_i \quad (8)$$

تعادل جریان سیال

در جریانهای شبیه استاتیکی گذرا از محیط‌های متخلخل نیروهای مقاوم ناشی از ویسکوزیته سیال باید با گرادیان فشار حفره‌ای برابر باشد پس داریم:

$$-P_{,i} = \frac{\rho_f g}{K} \dot{w}_i$$

در حالت کلی و در موارد دینامیکی نیروهای اینرسی و تقلی نیز به رابطه فوق اضافه می‌شوند.

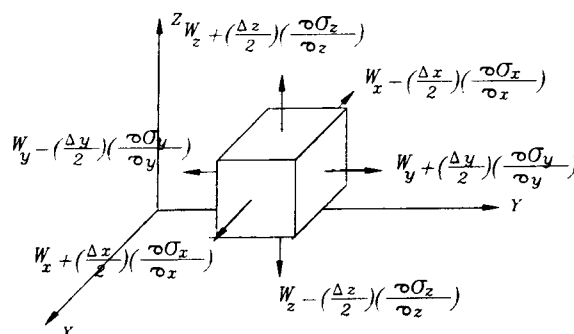
$$-P_{,i} + \rho_f g_i = \rho_f \ddot{u}_i + \rho_f \frac{\ddot{w}_i}{n} + \frac{\rho_f g}{K} \dot{w}_i \quad (9)$$

$\rho_f g_i$ نیروی ثقل که بعنوان نیروهای محرک عمل می‌کند ($g_i = (0, -g)$)

$\frac{\ddot{w}_i}{n}$ نیروی اینرسی ناشی از حرکت سیال با شتاب \ddot{w}_i / n که نیروئی مقاوم است.

تعادل جرمی سیال

در اینجا از قانون بقاء جرم کمک می‌گیریم شکل ۴ را در نظر گرفته ابعاد المان، Δx ، Δy و Δz بوده و مرکز آن نقطه‌ای به مختصات $P(x, y, z)$ فرض شده است.



شکل ۴: المان سه بعدی سرعت سیال.

اگر سرعت جریان عبوری از P به سه مؤلفه w_x, w_y, w_z تجزیه کنیم آنگاه می‌توان میزان جریان عبوری از هر لبه

هستند بدین صورت می‌باشند.

$$u_x(x=0) = \text{تغییر مکان } u_x \text{ در کنار دیوار} \quad (17)$$

$$w_x(x=0) = \text{تغییر مکان } w_x \text{ در کنار دیوار} \quad (18)$$

$$u_x(y=0) = \text{تغییر مکان } u_x \text{ روی بستر} \quad (19)$$

$$w_x(y=0) = \text{تغییر مکان } w_x \text{ روی بستر} \quad (20)$$

علاوه بر شرایط فوق دو شرط دیگر نیز داریم تغییر مکانهای u_x و w_x باستی در فاصله دور از دیوار فقط بصورت موج برخورده بوده و انعکاس و تفرق موج برای آنها اثر نداشته باشد.

با بررسی‌های انجام یافته توسط Veletsos، می‌توان جهت ساده نمودن حل، فرضیات زیر را نیز در نظر گرفت:

- ۱ - تنش‌های قائم درون محیط را در مقابل تنش‌های افقی را می‌توان ناچیز فرض کرد:

$$(برای تمام نقاط محیط) \quad (21)$$

۲ - با توجه به عمق محدود خاک در مقابل عرض نیمه بینهایت آن فرض براین قرارداده شده که تغییرات w_y بر حسب y در مقابل تغییرات w_x بر حسب x ناچیز بوده و مقدار آن برابر صفر منظور شده است. باید توجه داشت که در این فرض w_y دارای مقدار بوده و تابعی بر حسب x خواهد بود.

$$\frac{\partial w_y}{\partial y} = 0 \quad (22)$$

حل

با استفاده از فرض دوم، معادله ۱۰ ساده‌تر شده و با استفاده از فرض اول می‌توان مقدار $\frac{\partial u_y}{\partial y}$ را بر حسب $\frac{\partial w_x}{\partial x}$ بدست آورد.

$$\frac{\partial u_y}{\partial y} = -M_1 \frac{\partial u_x}{\partial x} - M_2 \frac{\partial w_x}{\partial x} \quad (23)$$

$$M_1 = \frac{Q + \lambda^*}{Q + \lambda^* + 2G^*} \quad (24)$$

$$M_2 = \frac{Q}{Q + \lambda^* + 2G^*} \quad (25)$$

از معادله ۱۰ مقادیر α'_x ، P و α_x بدست می‌آید.

بدین ترتیب معادلات ۱ الی ۱۰ معادلات حاکم بر مسئله می‌باشند که حاوی ۱۰ مجھول زیر می‌باشند: (باتوجه به دو بعدی بودن مسئله)

$$u_x, u_y, w_x, w_y, P, \alpha_{xy}, \alpha_x, \alpha_y, \alpha'_x, \alpha'_y$$

که مجموعاً ۱۰ مجھول و ۸ معادله مستقل داریم برای جبران کمبود معادلات دوفرض ساده کننده لازم است که در ادامه به آنها پرداخته شده است.

روش حل مسئله

و اکشن هارمونیکی

اگر شتاب حرکت بستر بصورت هارمونیکی در نظر گرفته شود، تغییر مکانهای u و w نیز می‌توانند بصورت هارمونیکی ظاهر شوند.

$$\ddot{x}_g(t) = X_g(y) e^{j\omega t} \quad (11)$$

$$u_x(x, y, t) = U_x(x, y) e^{j\omega t} \quad (12)$$

$$w_x(x, y, t) = W_x(x, y) e^{j\omega t} \quad (13)$$

که (y) پیک دامنه شتاب وارد شده بر حسب y می‌باشد و w فرکانس زاویه ای محرك و $U_x(x, y)$ و $W_x(x, y)$ توابع مخلوط بر حسب x, y هستند که دامنه تغییر مکانهای نسبی منظور شده‌اند.

توابع (y) و \ddot{x}_g به ترتیب برابر دامنه شتاب وارد شده بر حسب y و دامنه تغییر مکانها بر حسب x و y می‌باشند که آنها را می‌توان بصورت ترکیب خطی مدهای حرکتی محیط حساب کرد یعنی:

$$\ddot{X}_g(y) = \frac{4}{\pi} \ddot{X}_g \sum_{k=1,3}^{\infty} \frac{1}{k} \sin \frac{k\pi}{2} y \quad (14)$$

$$U_x(x, y) = \sum_{k=1,3}^{\infty} U_{xk}(x) \sin \left(\frac{k\pi}{2H} y \right) \quad (15)$$

$$W_x(x, y) = \sum_{k=1,3}^{\infty} W_{xk}(x) \sin \left(\frac{k\pi}{2H} y \right) \quad (16)$$

شرط مرزی و فرضیات براساس شکل ۵ شرایط مرزی که حاکم بر مسئله

$$S_1 = Q(1 - M_1) \quad (34-1)$$

$$S_2 = Q(1 - M_2) \quad (34-2)$$

$$\sigma_x' = [\lambda^*(1 - M_1) + 2G^*] \frac{\partial U_x}{\partial x} - \lambda^* M_2 \frac{\partial W_x}{\partial x} \quad (26)$$

$$P = Q(M_1 - 1) \frac{\partial U_x}{\partial x} + Q(M_2 - 1) \frac{\partial W_x}{\partial x} \quad (27)$$

با قراردادن معادلات ۳۰ و ۳۳ درون یک دستگاه میتوان مقادیر U_x و W_x را بدست آورد.

$$\begin{cases} S_1 \frac{\partial^2 U_x}{\partial x^2} + S_2 \frac{\partial^2 W_x}{\partial x^2} = -G^* \frac{\partial^2 U_x}{\partial y^2} + \rho \ddot{U}_x + \rho_f \ddot{W}_x + \rho \ddot{x}_g(t) \\ S_2 \frac{\partial^2 U_x}{\partial x^2} + S_1 \frac{\partial^2 W_x}{\partial x^2} = \rho_f \ddot{U}_x + \frac{\rho_f}{n} \ddot{W}_x + \frac{\rho_f g}{K} \dot{W}_x \end{cases} \quad (35)$$

باتوجه به اینکه حرکات هارمونیکی فرض شده دستگاه فوق بصورت زیر ساده می شود:

$$\begin{cases} (S_1 \frac{\partial^2}{\partial x^2}) U_{xk} + (S_2 \frac{\partial^2}{\partial x^2}) W_{xk} = A U_{xk} + B W_{xk} + D \\ (S_2 \frac{\partial^2}{\partial x^2}) U_{xk} + (S_1 \frac{\partial^2}{\partial x^2}) W_{xk} = B U_{xk} + C W_{xk} \end{cases} \quad (36)$$

$$A = \left(\frac{k\pi}{\sqrt{H}}\right)^2 G^* - \rho\omega^2 \quad (37-1)$$

$$B = -\rho_f \omega^2 \quad (37-2)$$

$$C = -\frac{\rho_f \omega^2}{n} + \frac{\rho_f g \omega}{K} i \quad (37-3)$$

$$D = \frac{\rho_f \ddot{x}_g}{\pi} \frac{1}{k} \quad (37-4)$$

با حل دستگاه ۳۶ مقادیر U_{xk} و W_{xk} بدست می آید:

$$\sigma_x = S \frac{\partial U_x}{\partial x} + R \frac{\partial W_x}{\partial x} \quad (28)$$

$$S = (\lambda^* + Q)(1 - M_1) + 2G^* \quad (29-1)$$

$$R = Q - M_2(\lambda^* + Q) \quad (29-2)$$

اگر از معادله ۵ نسبت به y مشتق بگیریم و معادله ۲۳ را در آن جایگزاری کنیم، بدست می آید که:

$$\frac{\partial \sigma_{xy}}{\partial y} = G^* \left(\frac{\partial^2 U_x}{\partial y^2} + \frac{\partial}{\partial x} \left(\frac{\partial U_y}{\partial y} \right) \right) \quad (30)$$

به کمک معادله فوق و مشتق معادله ۲۸ بر حسب x معادله (۲-۲۸) در جهت x بصورت زیر در می آید:

$$S_1 \frac{\partial^2 U_x}{\partial x^2} + S_2 \frac{\partial^2 W_x}{\partial x^2} + G^* \frac{\partial^2 U_x}{\partial y^2} = \rho \ddot{U}_x + \rho_f \ddot{W}_x + \rho \ddot{x}_g(t) \quad (31)$$

$$S_1 = S - G^* M_1 \quad (32-1)$$

$$S_2 = R - G^* M_2 \quad (32-2)$$

اگر از معادله ۲۷ نسبت به x مشتق گرفته شود و در معادله ۹ در جهت x قرار داده شود رابطه زیر حاصل می گردد:

$$S_2 \frac{\partial^2 U_x}{\partial x^2} + S_1 \frac{\partial^2 W_x}{\partial x^2} = \rho_f \ddot{U}_x + \frac{\rho_f}{n} \ddot{W}_x + \frac{\rho_f g}{K} \dot{W}_x \quad (33)$$

$$U_{xk} = A_1 e^{-\alpha_1 x} + B_1 e^{\alpha_1 x} + A_2 e^{-\alpha_2 x} + B_2 e^{\alpha_2 x} - H_1 \left[\frac{S_2 T_{22} + S_2}{\lambda_1} - \frac{S_1 T_{21} + S_1}{\lambda_2} \right] \quad (38)$$

$$W_{xk} = T_{21} (A_1 e^{-\alpha_1 x} + B_1 e^{\alpha_1 x}) + T_{22} (A_2 e^{-\alpha_2 x} + B_2 e^{\alpha_2 x}) - H_1 \left[\frac{T_{21} (S_2 T_{22} + S_2)}{\lambda_1} - \frac{T_{22} (S_1 T_{21} + S_1)}{\lambda_2} \right] \quad (39)$$

$$w_{xk} = e^{i\omega t} \sum_{k=1,3}^{\infty} [T_{11}\Psi_1(e^{-\alpha_1 x} - 1) - T_{22}\Psi_2(e^{-\alpha_2 x} - 1)] \sin\left(\frac{k\pi}{H}y\right) \quad (46)$$

$$\Psi_1 = \frac{H_1(S_1 T_{11} + S_{11})}{\lambda_1} \quad (47-1)$$

$$\Psi_2 = \frac{H_2(S_2 T_{22} + S_{22})}{\lambda_2} \quad (47-2)$$

با جایگزینی معادلات ۴۵ و ۴۶ در معادله ۲۸ مقدار σ_x در هر نقطه از محیط بدست می‌آید.

$$\sigma_x = e^{i\omega t} \sum_{k=1,3}^{\infty} [\alpha_2 \Psi_2 e^{-\alpha_2 x} (S + R T_{22}) - \alpha_1 \Psi_1 e^{-\alpha_1 x} (S + R T_{11})] \sin\left(\frac{k\pi}{H}y\right) \quad (48)$$

برای بدست آوردن تنش‌های واردہ بر دیوار کافی است در معادله فوق مقدار σ_x برابر صفر قرارداده شود.

$$w_W = e^{i\omega t} \sum_{k=1,3}^{\infty} [\alpha_2 \Psi_2 (S + R T_{22}) - \alpha_1 \Psi_1 (S + R T_{11})] \sin\left(\frac{k\pi}{H}y\right) \quad (49)$$

با انتگرال‌گیری از تنش‌ها در ارتفاع دیوار مقدار برایند نیرو حاصل می‌شود.

$$F_W = \int_0^H \sigma_W dy \quad (50-1)$$

$$F_W = e^{i\omega t} \sum_{k=1,3}^{\infty} \frac{\gamma H}{k\pi} \left[\alpha_2 \Psi_2 (S + R T_{22}) - \alpha_1 \Psi_1 (S + R T_{11}) \right] \quad (50-2)$$

همچنین لنگر وارد بر پای دیوار از رابطه زیر بدست می‌آید.

$$M = \int_0^H \sigma_W y dy \quad (51-1)$$

$$M = e^{i\omega t} \sum_{k=1,3}^{\infty} (-1)^{\frac{k-1}{2}} \left(\frac{\gamma H}{k\pi} \right)^2 [\alpha_2 \Psi_2 (S + R T_{22}) - \alpha_1 \Psi_1 (e^{-\alpha_1 x} - 1)] \sin\left(\frac{k\pi}{H}y\right) \quad (51-2)$$

$$L_{11} = \frac{AS_1 - BS_2}{S_1 S_2 - S_1 S_2} \quad (40-1)$$

$$L_{12} = \frac{BS_1 - CS_2}{S_1 S_2 - S_1 S_2} \quad (40-2)$$

$$L_{21} = \frac{-AS_2 + BS_1}{S_1 S_2 - S_1 S_2} \quad (40-3)$$

$$L_{22} = \frac{-BS_2 + CS_1}{S_1 S_2 - S_1 S_2} \quad (40-4)$$

$$\lambda_{1,2} = \frac{(L_{11} + L_{22}) \pm \sqrt{(L_{11} + L_{22})^2 - 4(L_{11} L_{22} - L_{12} L_{21})}}{2} \quad (41)$$

$$T_{11} = \frac{\lambda_1 - L_{11}}{L_{12}} = \frac{L_{21}}{\lambda_1 - L_{22}} \quad (42-1)$$

$$T_{22} = \frac{\lambda_2 - L_{22}}{L_{12}} = \frac{L_{21}}{\lambda_2 - L_{22}} \quad (42-2)$$

$$H_1 = \frac{D}{(T_{22} - T_{11})(S_1 S_2 - S_1 S_2)} \quad (42-3)$$

$$\alpha_1 = \sqrt{\lambda_1} \quad (43-1)$$

$$\alpha_2 = \sqrt{\lambda_2} \quad (43-2)$$

باتوجه به اینکه u_x و w_x در فاصله بینهایت از دیوار بایستی به سمت صفر می‌کنند مقادیر A_1 , B_1 , B_2 بایستی برابر صفر شوند و با توجه به شرائط مرزی ۱۷ و ۱۸ مقادیر A_1 , A_2 به شرح زیر معلوم می‌شوند:

$$A_1 = \frac{H_1(S_1 T_{11} + S_{11})}{\lambda_1} \quad (44-1)$$

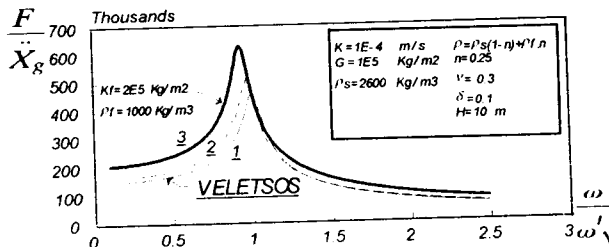
$$A_2 = -\frac{H_2(S_2 T_{22} + S_{22})}{\lambda_2} \quad (44-2)$$

با جایگزینی نتایج در معادلات ۳۸ و ۳۹ و به کمک معادلات ۱۴ و ۱۵ مقادیر u_x و w_x بدست خواهد آمد.

$$u_{xk} = e^{i\omega t} \sum_{k=1,3}^{\infty} [\Psi_1(e^{-\alpha_1 x} - 1) - \Psi_2(e^{-\alpha_2 x} - 1)] \sin\left(\frac{k\pi}{H}y\right) \quad (45)$$

$$\Psi_1(e^{-\alpha_1 x} - 1) \sin\left(\frac{k\pi}{H}y\right)$$

می باشد. نمودار شماره (۱) نشان دهنده حالت محیط یک فازه می باشد.



شکل ۵: تأثیر تغییرات مقادیر Q

در صورتی که درصد اشباع خاک بین ۹۵ تا ۱۰۰ درصد باشد مقدار Q از رابطه زیر حاصل می شود:

$$Q = \frac{1}{\frac{n}{K_f} + \frac{1-S}{P}} \quad 1 \leq S \leq 0.95 \quad (55)$$

\bar{S} میزان اشباع خاک = (حجم حفرات / حجم آب) و \bar{P} فشار مطلق جو می باشند در صورتی که $1 = \bar{S}$ باشد مقدار Q بصورت رابطه زیر ساده می شود:

$$Q = \frac{K_f}{n}$$

نمودار شماره (۳) نشان دهنده خاک اشباع حالت محیط دوفازه می باشد که مقادیر آن از رابطه (۵۰-۲) بدست آمده است در این نمودار مشخصات در نظر گرفته شده مشابه مشخصات نمودار (۱) می باشد

$$\alpha_1 \Psi_1 (S + RT_{21})] \quad (51-2)$$

با استفاده از معادله ۲۳ مقدار u_y در هر نقطه از محیط بدست می آید.

$$u_y = e^{i\omega t} \sum_{k=1,2}^{\infty} [\alpha_1 \Psi_1 e^{-\alpha_k x} (M_1 + M_2 T_{21}) - \alpha_2 \Psi_2 e^{-\alpha_k x} (M_1 + M_2 T_{22})] \frac{\gamma H}{k\pi} (\cos(\frac{k\pi}{\gamma H} y) - 1) \quad (52)$$

برای بدست آوردن مقدار τ_{xy} از رابطه ۵ می توان کمک گرفت و برای بدست آوردن مقدار فشار منفذی در هر نقطه از محیط می توان از رابطه ۲۷ کمک گرفت. (روابط ۵۳ و ۵۴)

ارائه و تحلیل نتایج

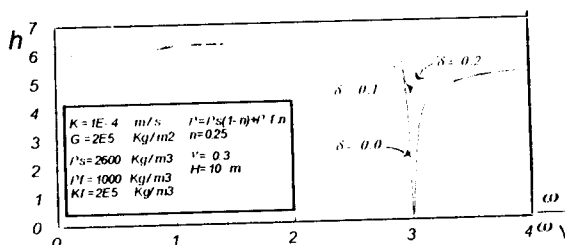
نتایجی که از فصل قبل بدست آمد عبارت بودند از تنفس وارد بر دیوار، نیروی برآیند وارد بر دیوار، لنگر وارد برپای دیوار و تنفس برپای و فشار منفذی هر نقطه از محیط خاک اشباع. در ادامه به بررسی نتایج بدست آمده در زمان $t=0$ پرداخته می شود.

در یک مقایسه که بین خاک خشک و خاک اشباع صورت گرفته شکل ۵ حاصل شده است. در این شکل محور افقی نسبت فرکانس زاویه ای بستر تحریک کننده به فرکانس زاویه ای طبیعی محیط در حالت خاک خشک می باشد و محور قائم نسبت مقدار نیروی برآیند به دامنه شتاب بستر

$$e^{i\omega t} = G^* e^{i\omega t} \sum_{k=1,2}^{\infty} [\Psi_1 (e^{-\alpha_k x} - 1) - \Psi_2 (e^{-\alpha_k x} - 1)] \frac{k\pi}{\gamma H} \cos(\frac{k\pi}{\gamma H} y) + \\ e^{i\omega t} \sum_{k=1,2}^{\infty} [-\alpha_1 \Psi_1 e^{-\alpha_k x} (M_1 + M_2 T_{21}) + \alpha_2 \Psi_2 e^{-\alpha_k x} (M_1 + M_2 T_{22})] \frac{\gamma H}{k\pi} (\cos(\frac{k\pi}{\gamma H} y) - 1) \quad (53)$$

$$P = -Q e^{i\omega t} \sum_{k=1,2}^{\infty} [\alpha_1 \Psi_1 e^{-\alpha_k x} (1 - M_1 + (1 - M_2) T_{21}) - \alpha_2 \Psi_2 e^{-\alpha_k x} (1 - M_1 + (1 - M_2) T_{22})] \sin(\frac{k\pi}{\gamma H} y) \quad (54)$$

با افزایش جرم حجمی خاک نیروی برایند نیز افزایش می‌یابد. در این شکل مشاهده می‌شود که حداکثر نیرو در هر کدام از نمودارها در حالت تشدید اتفاق می‌افتد. طبق رابطه ۵۷ با افزایش جرم حجمی فرکانس زاویه‌ای محیط کاهش می‌یابد به همین دلیل دیده می‌شود که در این شکل با افزایش جرم حجمی، حداکثر نمودار در فرکانس زاویه‌ای کمتری اتفاق می‌افتد.



شکل ۷: تأثیر ضریب میرائی مصالح فاز جامد بر نقطه اثر برایند نیرو.

اگر فاصله نقطه اثر برایند نیروی وارد بر دیوار تا پای دیوار با h نشان داده شود، شکل شماره ۷ تأثیر تغییرات مقدار ضریب میرائی محیط در سه حالت را بر h نشان می‌دهد. این تأثیر در فرکانسهای کمتر از حالت تشدید بسیار ناچیز بوده و بیشتر خود را در فرکانسهای بزرگتر از حالت تشدید نشان می‌دهد. این مطلب بیان کننده این است که تأثیر ضریب میرائی در موج‌های پیش‌رونده می‌باشد و بر موج‌های ایستا تأثیر ندارد. زیرا در فرکانس‌های کمتر از حالت تشدید موج ایستا تشکیل و در فرکانس‌های بالاتر، حالت تشعنی اتفاق می‌افتد.

تأثیرات ضریب میرائی بر برایند نیروی وارد بر دیوار در شکل شماره ۸ نشان داده شده است. در این شکل سه نمودار برای ضرایب میرائی مختلف ترسیم شده است، کلیه نمودارها نشان می‌دهند که حداکثر در حالت تشدید اتفاق می‌افتد.

با کاهش ضریب میرائی مقدار نیروی برایند در اطراف $= 1 = \frac{w}{\omega_1}$ بسرعت افزایش می‌یابد، این مسئله در نقطه $= 3 = \frac{w}{\omega_1}$ نیز مشاهده می‌شود.

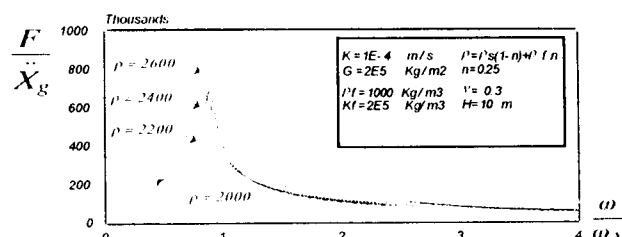
علاوه مشخصات مربوط به وجود آب که عبارتند از:

$$K = 1E-4 m/s, \rho_f = 1000 Kg/m^3, K_f = 2E5 Kg/m^2 \quad (56)$$

وجود آب باعث افزایش مقدار m می‌شود که از رابطه $(1-n)\rho_s + n\rho_f = m$ بدست می‌آید و برابر $1750 Kg/m^3$ خواهد شد. مقدار ω یعنی فرکانس طبیعی محیط از رابطه زیر بدست می‌آید:

$$\omega_1 = \frac{\pi v_s}{2H}, \quad v_s = \sqrt{G/\rho} \quad (57)$$

که v_s سرعت انتقال موج بررشی می‌باشد مشاهده می‌شود که حداکثر نمودار (۱) در $= \frac{w}{\omega}$ اتفاق افتاده است یعنی که مقدار حداکثر در حالت تشدید اتفاق می‌افتد.



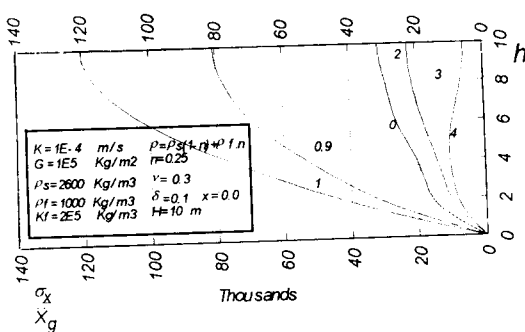
شکل ۸: مقایسه مقادیر مختلف جرم حجمی خاک.

نمودار شماره (۲) در حالت $K_f = 500 Kg/m^2$ و $\rho_f = 1000 Kg/m^3$ رسم شده است مشاهده می‌شود که با کم شدن تأثیر فاز دوم یعنی مایع نمودار شماره (۳) به سمت نمودار شماره (۱) حرکت می‌کند و در نهایت در حالتی که $\omega \rightarrow 0$ و $K_f \rightarrow 0$ می‌روند نمودار حالت خشک را خواهیم داشت که این نمودار انطباق کامل با نتایج بدست آمده از فرمولهای Veletsos دارد. این مطلب بیانگر صحت معادلات بدست آمده برای حالت خاک اشباع می‌باشد. و در ضمن این شکل، تأثیر تقابل فازها در مقادیر نیروها با تغییر در صد اشباع (تغییر مقادیر K_f) را نشان می‌دهد.

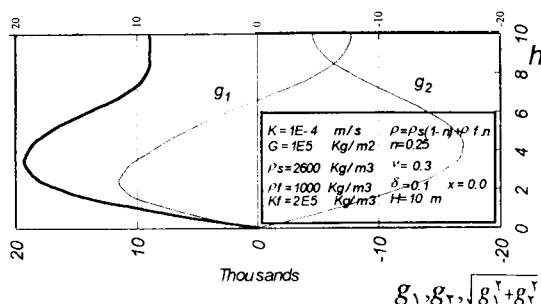
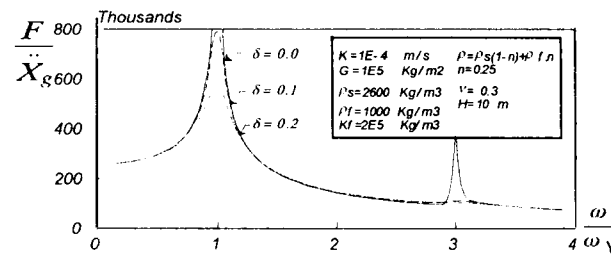
در شکل شماره ۶ تغییرات $\frac{F_w}{X_g}$ بر حسب w با توجه به تغییر مقدار w را نشان می‌دهد. این شکل بیان کننده آن است که

۹ مقادیر g_1 و g_2 بصورت دو نمودار جداگانه رسم شده است و در شکل شماره ۱۰ مقدار کل تنش یعنی $\sqrt{g_1^2 + g_2^2}$ رسم شده است شکل شماره ۱۰ نشان می‌دهد که تا قبل یا خود نقطه $\omega = \frac{\omega_1}{\omega}$ تنش وارد بر دیوار را g_1 متحمل می‌شود و مقدار g_2 در این ناحیه صفر می‌باشد و بعد از حالت تشدید تنش وارد بر دیوار را g_2 متحمل می‌شود و مقدار g_1 بسیار ناچیز می‌باشد.

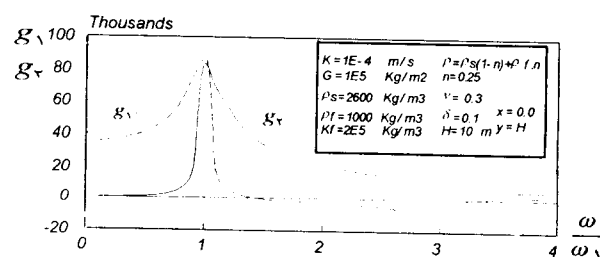
بعارت دیگر ω توواتر حد تشعشع می‌باشد و به مفهوم آن است که در تواترهای کمتر، انتشار موج بسته بینهایت چندان انجام نمی‌شود، یعنی امواج منتشره در محیط بصورت امواج ایستا بوده و امواج پیش‌رونده نداریم و چون میرائی هندسی ناشی از امواج پیش‌رونده است، لذا بدیهی است جزء موهومی تنش که نمایانگر اثر میرائی است وجود نداشته و بر عکس وقتی توواتر بیشتر از توواتر حد تشعشع باشد امواج پیش‌رونده در محیط منتشر و میرائی هندسی غالب می‌شود.



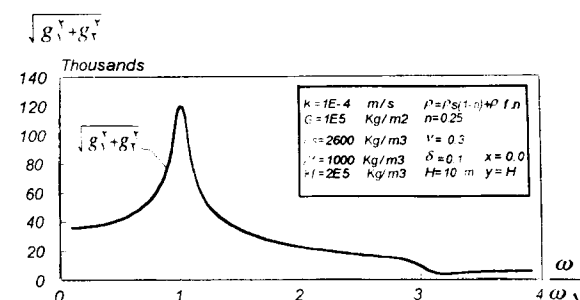
شکل ۱۱: تغییرات تنش در ارتفاع.

شکل ۱۲: مقایسه مقادیر موهومی و حقیقی تنش در ارتفاع $\left(\frac{\omega}{\omega_1} = 3\right)$ 

شکل ۸: تأثیر ضریب میرائی مصالح فاز جامد بر نیروی برآیند.

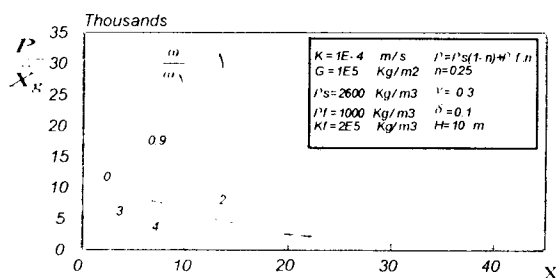


شکل ۹: مقایسه مقادیر حقیقی و موهومی مقدار تنش وارد بر دیوار.

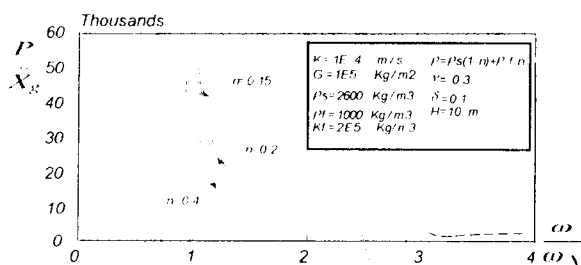
شکل ۱۰: نمودار تغییرات تنش وارد بر نوک دیوار بر حسب ω

اگر تنش وارد بر دیوار را بصورت $(g_1 + ig_2)$ نمایش دهیم که g_1 جزء حقیقی و g_2 جزء موهومی مقدار تنش می‌باشد، علامت منفی برای تنش نشانده‌نده فشاری بودن تنش وارد بر دیوار می‌باشد در شکل شماره

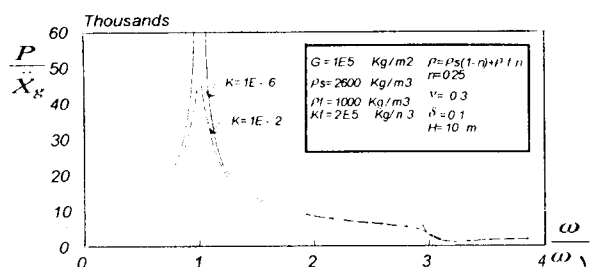
مقدار فشار منفذی برابر صفر شود. فشار منفذی نیز مانند تنش با دور شدن از دیوار و رفتن بسمت بینهایت بایستی بسمت صفر میل کند، که این مطلب در شکل شماره ۱۴ نمایش داده شده است. در این نمودار مشاهده می شود که هرچه مقدار \times افزایش یابد مقدار فشار منفذی کاهش می یابد و در نهایت این مقدار بسمت صفر میل می کند. این شکل فشار منفذی روی خط H را نشان می دهد.



شکل ۱۴: تغییرات فشار منفذی نوک دیوار بر روی محور X ها.



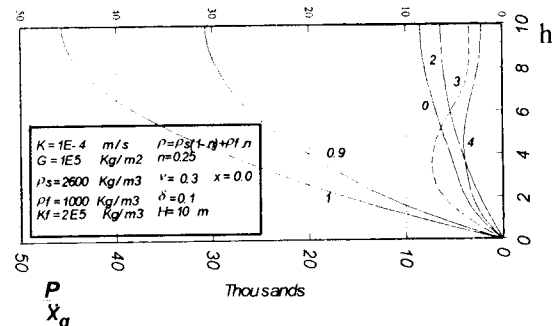
شکل ۱۵: تأثیر تغییرات تخلخل بر مقدار فشار منفذی.



شکل ۱۶: تأثیر تغییرات ضریب نفوذ پذیری خاک بر فشار منفذی.

وضعیت تنش وارد بر دیوار در شکل شماره ۱۱ نشان داده شده است. مشاهده می شود که مقدار تنش پای دیوار ($y=0$) برابر صفر بوده و حداکثر تنش را نوک آن ($y=H$) دارد. این امر به این دلیل است که مقدار تغییر مکان خاک در $y=0$ برابر با تغییر مکان بستر می باشد، و هیچ جابجایی نسبی بین ایندو نیست لذا هیچ تنشی از طرف خاک بر دیوار وارد نمی شود، و بر عکس در حداکثر ارتفاع بیشترین جابجایی نسبی خاک نسبت به بستر را داریم که باعث ایجاد حداکثر تنش اعمالی بر دیوار می شود.

شکل شماره ۱۲ نشاندهنده وضعیت تنش وارد بر دیوار در حالت $=\frac{\omega}{\omega_1}$ می باشد، که سهم هر یک از مقادیر حقیقی و موهمی تنش را نشان می دهد.



شکل ۱۷: تغییرات فشار منفذی در ارتفاع.

وضعیت فشار منفذی درون خاک نیز به پارامترهای بستگی دارد، که در ادامه به بررسی تغییرات فشار منفذی درون خاک در اثر نوسان مشخصات خاک پرداخته شده است. شکل شماره ۱۳ تغییرات نسبت فشار منفذی کنار دیوار به دامنه شتاب بستر ($\frac{P}{X_g}$) بر حسب ارتفاع y دیوار نشان داده شده است، در $y=0$ فشار منفذی کنار دیوار صفر خواهد بود و ماکزیمم آن در $y=H$ خواهد بود علت آنرا می توان همان تغییرات ω_x دانست که در $y=0$ مقدار صفر را دارد و در $y=H$ مقدار ماکزیمم خود را می گیرد البته لازم به ذکر است که این حالت در زمان کمی اتفاق می افتد، چرا که در فرصت کم محیط به حالت زهکشی نمی رسد. اگر زمان طولانی تر بود در $y=H$ که سطح آزاد می باشد بایستی

دهیم. فواصل بین برداشت‌ها 0.2 m ثانیه منظور شده است. پس از اینکه مقادیر دامنه شتاب و فرکانس زاویه‌ای در حوزه فرکانسی بدست آمد، بكمک معادلات بدست آمده می‌توان نیروی وارد بر دیوار را بدست آورد و در نهایت این نیرو که بصورت عدد مختلط می‌باشد را بكمک تبدیل معکوس فوریه می‌توان به حوزه زمانی بازگرداند، و مقادار آنرا در حوزه زمانی بدست آورد، که سر انجام، نمودارهای شکل شماره ۱۸ برای دو مقدار ضریب نفوذپذیری حاصل شده است. در این شکل محور افقی زمان و محور قائم نیروی وارد بر دیوار بر حسب کیلوگرم نیرو را نشان می‌دهد. نمودار برای فاصله زمانی یک تا سه ثانیه ترسیم شده است که نمودار خط چین برای حالت $m/s = 10^{-2}$ و نمودار دیگر برای حالت $m/s = 10^{-8}$ ترسیم شده است. در این شکل مشاهده می‌شود که اختلاف بین دو نمودار در بعضی نقاط به ۱۵ الی ۲۰ درصد می‌رسد، و بخوبی اثر ضریب نفوذ پذیری در خاک‌های مختلف نشان داده شده است.

اثر فاز دوم یعنی مایع در نمودارهای شکل شماره ۱۸ برای فاصله زمانی یک تا سه ثانیه نشان داده شده است. در این نمودار محور افقی زمان بر حسب ثانیه و محور قائم نیروی برایند وارد بر یک متر طول دیوار بر حسب کیلوگرم نیرو می‌باشند، مشخصات خاک مانند نمودار شماره ۱۳ فرض شده با این تفاوت که $m/s^2 = 10^7$ در نظر گرفته شده، که مشخصه ماسه است. نمودار خط چین نشان دهنده حالت یک فازه و نمودار خط پر بیان کننده محیط دو فازه بر اساس فرمولهای بدست آمده می‌باشد. وجود فاز دوم باعث افزایش نیروی وارد بر دیوار شده و در موقعیت حتی باعث تغییر علامت نیروی وارد بر دیوار می‌شود.

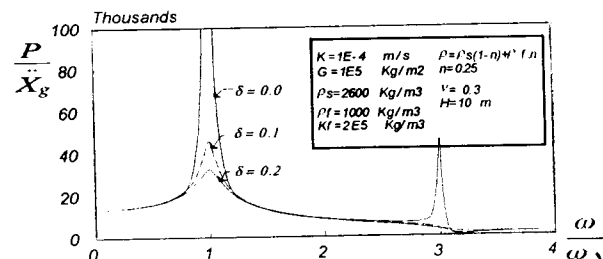
نتیجه‌گیری

رفتار دینامیکی خاک اشباع همگن بر روی دیوار نگهبان قائم صلب بصورت یک محیط دوفازه خاک و سیال بررسی شد و نیروی برآیند وارد بر دیوار بدست آمد. ر

تخلخل تأثیر معکوس بر مقدار فشار منفذی دارد، با افزایش آن فشار منفذی کاهش می‌یابد و بر عکس این مطلب در شکل شماره ۱۵ برای سه حالت مختلف تخلخل نشان داده شده است.

شکل شماره ۱۶ وضعیت فشار منفذی را در حالت که ضریب نفوذپذیری دو مقدار مختلف دارد ترسیم شده است. مشاهده می‌شود که در حالت $K = 1E-6 m/s$ مقدار فشار منفذی در اطراف مدهای اول و دوم نسبت به حالت دیگر افزایش دارد پس کاهش ضریب نفوذپذیری تأثیر افزاینده بر فشار منفذی خواهد داشت چراکه افزایش ضریب نفوذپذیری نیز کمک به سرعت زهکشی محیط می‌کند.

دیگر عامل تأثیرگذار روی مقدار فشار منفذی ضریب میرائی محیط می‌باشد. در شکل ۱۷



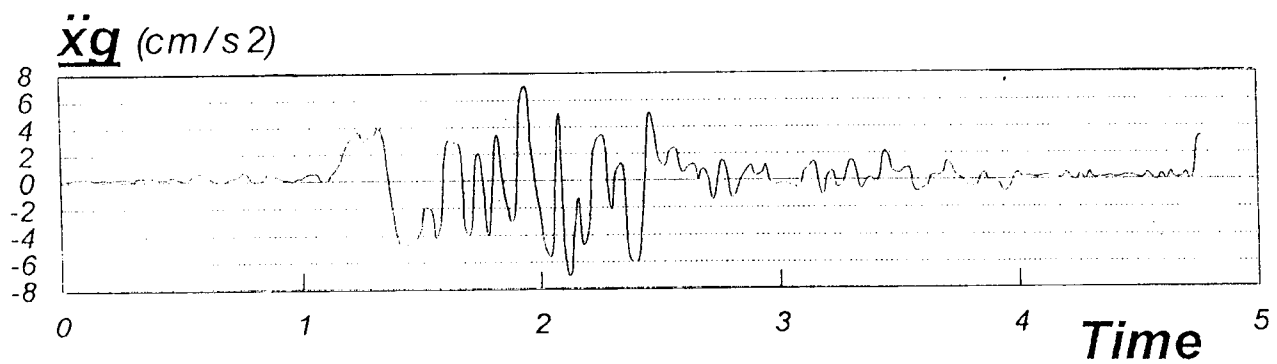
شکل ۱۷: تأثیر ضریب میرائی بر فشار منفذی نوک دیوار.

برای حالات $\omega = \omega_1 = \omega_2 = \omega$ سه نمودار رسم شده است. تأثیر ضریب میرائی بر فشار منفذی همانند تأثیرش بر نیروی برآیند است که با افزایش ضریب میرائی کاهش فشار منفذی در اطراف مدهای اول و دوم مشاهده می‌شود این کاهش در بقیه نقاط بسیار ناچیز است.

شکل شماره ۱۷ منحنی شتاب نگاشت زلزله ناقان را نشان می‌دهد که محور افقی زمان و محور قائم را نشان می‌دهند. بكمک تبدیل فوریه می‌توان مقادیر شتاب زلزله را از حوزه زمانی خارج کرده و به حوزه فرکانسی انتقال

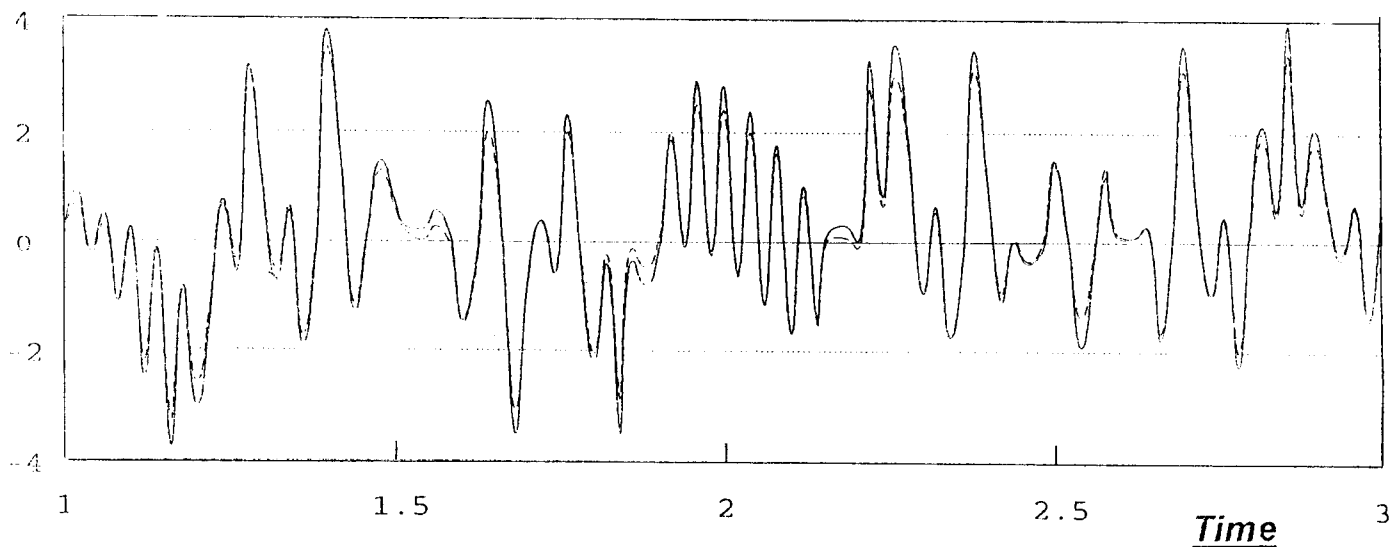
خواهد آمد.
بعنوان مثال میتوان از ضریب نفوذپذیری خاک نام برد که تاثیرش در شکلها ۱۵ و ۱۸ نشان داده شده است. در صورت تک فازی بودن محیط این پارامتر و تاثیر آن در نظر گرفته نمی شود که این خود باعث دور شدن از رفتار واقعی محیط تحت اثر لرزه های دینامیکی خواهد شد.

این مطالعه علاوه بر بررسی پارامترها و ویژگی های محیط خشک به بررسی تاثیر پارامترهای مریبوط به وجود سیال درون محیط نیز پراخته شده و تاثیر هر کدام بر نیروی برآیند وارد بر دیوار صلب قائم نشان داده شده است. در صورتی که محیط اشباع خاک بصورت تک فازی در نظر گرفته شود، تاثیر ویژگی های فاز دوم، تاثیرگذار بر جواب نهائی نادیده گرفته شده و جوابی دور از واقعیت بدست



شکل ۱۸: منحنی شتاب نگاشت زلزله ناقان.

F
Thousands



شکل ۱۹: منحنی برآیند نیروی وارد بر دیوار در مدت زمان زلزله.

مراجع

- 1 -Veletos, A. S., and Younan, A. H. (1994). "Dynamic soil pressures on rigid vertical walls." *Earthquake Eng. and Structural Dynamic.*, 23, 275-301.

- 2 - Biot, M. A. (1940). "General theory of three-dimensional consolidation." *Journal of Applied Physics.*, 12, 155-164.
- 3 - Das, Braja M. "Soil dynamic." Mc.Graw Hill Publication.
- 4 - Okabe, S. (1924). "General theory of earth pressur and seismic stability of retaining wall and dam." *J. Japan Soc. Civil Engrs.*, 12.
- 5 - Wood, J. H. (1973). "Earthquake-induced soil pressures on structures." *Report EERL, 73-05, Earthquake Engineering Research Laboratory California Institute of Technology.*
- 6 - Wood, J. H. (1975). "Earthquake induced pressures on rigid wall structure." *Bull, New Zealand Soc. Earthquake Eng.*, 8, 175-186.
- 7 - Siller, T. J., Christiano, P. P., and Bielak, J. (1991). "Seismic response of tied-back retaining walls." *Earthquake Eng.Struct.Dyn.*, 20, 605-620